

超流動がある場合の

閉じ込め相とヒッグス相 に対する新しい見方

IPMU 近藤 暖

共同研究者 日高義将(KEK)

(arxiv:2210.11492)

予定

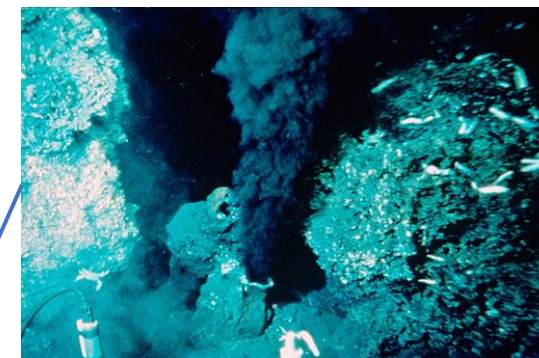
- 動機
- 高次対称性の準備
- 高次対称性の具体例 物質場のない電磁気
- 高次対称性が創発する例1 超流動
- 高次対称性が創発する例2 超伝導
- $U(1)_{gauge} \times U(1)_{global}$ の対称性を持った模型
- 閉じ込め相とヒッグス相について

動機

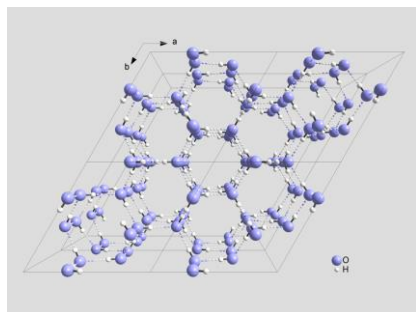
対称性と相の区別

並進対称性

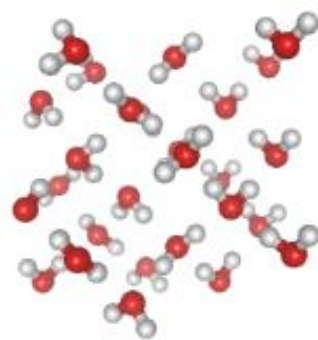
区別がつかない



熱水噴出孔

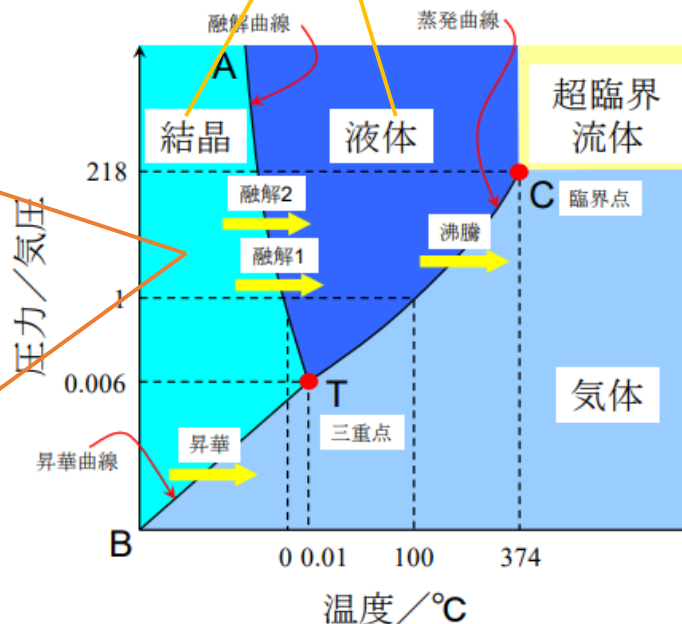


Ih相 六方晶 \mathbb{Z}_6



Ic相 立方晶 \mathbb{Z}_4

離散対称性

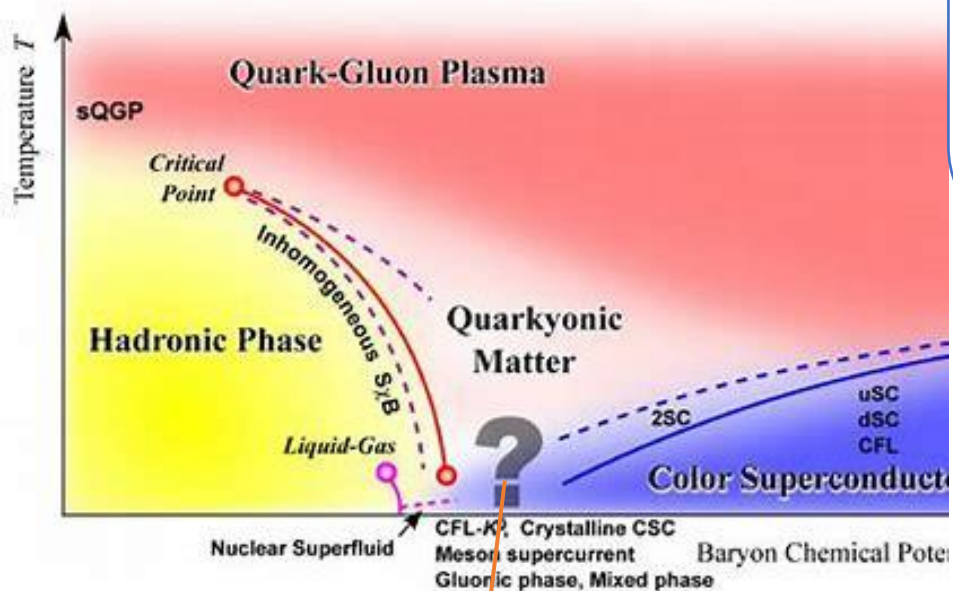


水の相図

[chapter10.pdf \(osaka-cu.ac.jp\)](http://chapter10.pdf(osaka-cu.ac.jp)) より

QCDの相図

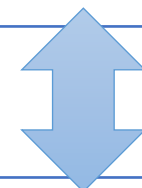
K. Fukushima and T. Hatsuda,
Rept. Prog. Phys. 74, 014001 (2011)



閉じ込め相とヒッグス相の間は
どうなっているのか??
境界は区別できるのか?

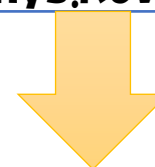
大域的な対称性が2つの相で同じ
→ 2つの相は連続でつながっていて区別がつかない

Schafer and Wilczek, PRL 82, 3956 (1999)
Hatsuda, Tachibana, Yamamoto, Baym, PRL 97, 122001 (2006)
Alford, Baym, Fukushima, Hatsuda, Tachibana,
Phys. Rev. D 99, 036004 (2019)
Chatterjee, Nitta, Yasui Phys. Rev. D 99, 034001 (2019)
Hirono, Tanizaki, PRL 122, 212001 (2019)



(量子) 相転移がある

Cherman, Sen, Yaffe, PRD 100, 034015 (2019)
Cherman et al Phys. Rev. D 102 (2020) 10, 105021



(あれば)
どんな対称性で相を区別できるか?

高次対称性の準備

(通常の) 対称性について

対称性があると

$$\partial_\mu j^\mu = 0 \text{ 保存則, } Q = \int d^d x j^0(x) \text{ 電荷(生成子)}$$

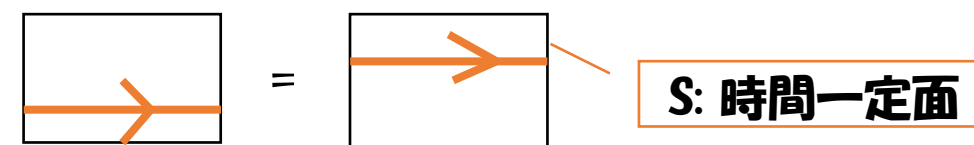
$$j = \frac{1}{d!} \epsilon_{\mu\mu_1\dots\mu_d} j^\mu dx^{\mu_1} \wedge dx^{\mu_2} \wedge \dots \wedge dx^{\mu_d} \text{ とすると}$$

保存則は $dj = 0$

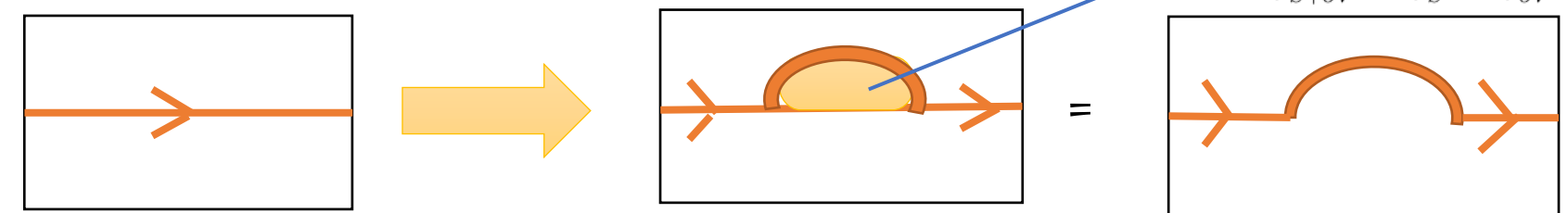
電荷 (生成子) は $Q = \int_S j$

保存則が成り立っていれば、積分する面を $S \rightarrow S + \partial V$ としてもストークスの定理より同じ。(トポロジカルな変形で不変。)

時間 ↑



$$\delta Q = \int_{S+\partial V} j - \int_S j = \int_{\partial V} j = \int_V dj = 0$$

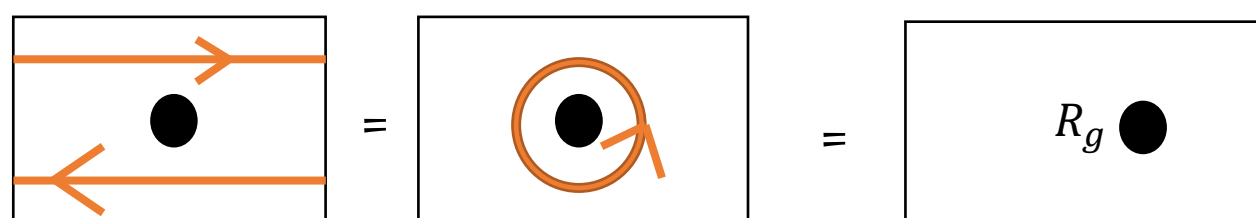


対称性演算子 $U_g = e^{i\theta Q}$ に対する対称性変換の仕方は

$$U_g \psi U_g^{-1} = R_g \psi$$

荷電物体

表現行列

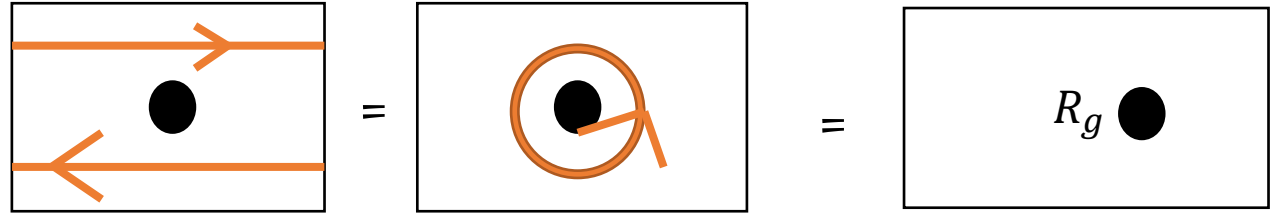
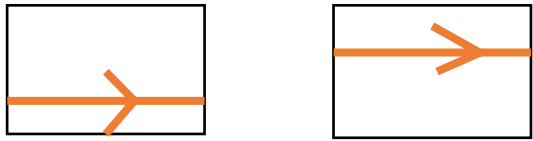


通常

$$Q = \int_M a_j$$

$$U_g \psi U_g^{-1} = R_g \psi$$

時間 ↑



高次

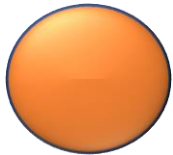
例えば2+1次元だと

0次

1次

2次

対称性
演算子

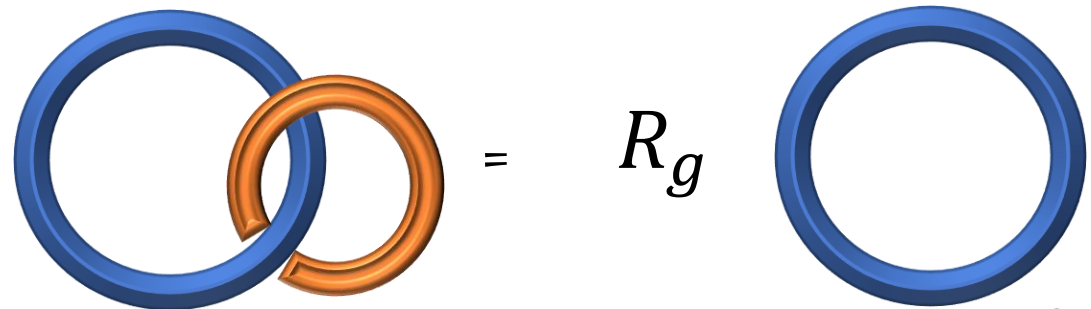


荷電物体



拡張可能性…余次元が増えても
 $dj = 0$ が保存則とみなせる

生成子と荷電物体が絡むと表現行列が出てくる



高次対称性の具体例

高次対称性の出方をみる

高次対称性の例 物質場のない電磁気

$$\begin{aligned}\partial_\mu f^{\mu\nu} &= 0 \\ \epsilon^{\mu\nu\rho\sigma} \partial_\nu f_{\rho\sigma} &= 0\end{aligned}$$

微分形式で書くと

$$\begin{aligned}d[*f] &= 0 \\ df &= 0\end{aligned}$$

保存量

$j_E := * \frac{f}{e^2}$, $j_M := \frac{f}{2\pi}$ として、
対称性演算子

$$U_{e^{i\theta}}^E(S) := \exp \left[i\theta \int_S j_E \right]$$

電氣的対称性

$$U_{e^{i\eta}}^M(S) := \exp \left[i\eta \int_S j_M \right]$$

磁氣的対称性

を定義する。

3+1次元時空で、空間の積分領域 S が2次元なので、1次対称性
電束・磁束の保存に対応する。

高次対称性の例 物質場のない電磁気

$$U_{e^{i\theta}}^E(S) := \exp \left[i\theta \int_S j_E \right]$$

電気的対称性

$$U_{e^{i\eta}}^M(S) := \exp \left[i\eta \int_S j_M \right]$$

磁氣的対称性

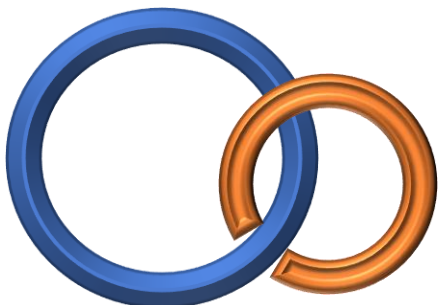
荷電物体は…

$$W(C) = \exp i \int_C a$$

ウィルソンループ

$$H_n(C) = \exp in \int_C \tilde{a}$$

トーフーフトループ



$$U_{e^{i\theta}}^E(S)W(C) = e^{i\theta}W(C) \quad \text{お互いに巻き付くと結果を出力する}$$

高次対称性が創発する例

低エネルギー有効理論で高次対称性が創発することがある
しばしば相転移がある

高次対称性が創発する例 1 超流動

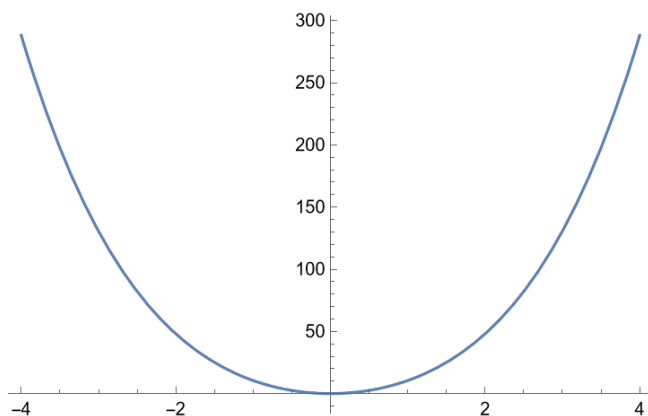
大域的U(1)対称性を持った複素スカラー場の理論

作用

$$S = -\int (d\phi^\dagger \wedge * d\phi + * m^2 |\phi|^2 + * g^2 |\phi|^4)$$

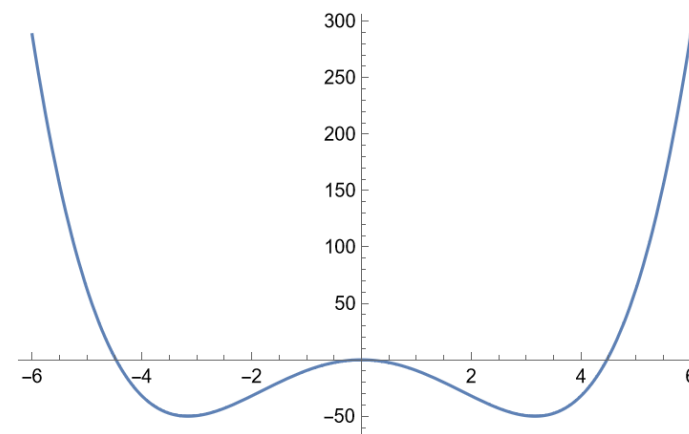
U(1)対称性 (0form) $\phi \rightarrow e^{i\theta} \phi$ で S は不変

$m^2 > 0$ の場合



m^2 によって
対称性が自発的に
破れてない相 / 破れた相
にわかれる

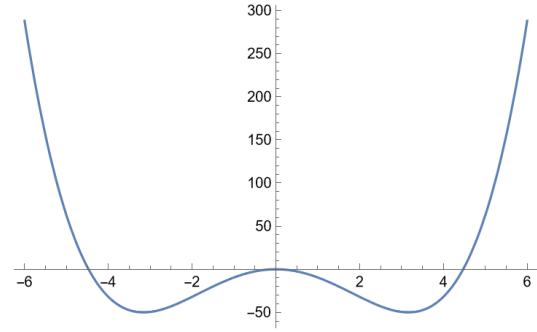
$m^2 < 0$ の場合



$m^2 < 0$ 破れている場合

静的な解は

$$|\phi|^2 = 0, -\frac{m^2}{2g^2}$$



$$v = \sqrt{-\frac{m^2}{g^2}} \text{ として安定な解のまわりで}$$
$$\text{場を } \phi = \frac{(v+h)e^{i\varphi}}{\sqrt{2}} \text{ と展開すると}$$

$$S = - \int \frac{1}{2} (v^2 + 2vh + h^2) d\varphi \wedge * d\varphi + \frac{1}{2} dh \wedge * dh + \underbrace{|m^2|}_{\text{質量}} * h^2 + \frac{g^2}{4} * (4vh^3 + h^4)$$

h は質量 $\sqrt{2|m^2|}$ をもつ
→低エネルギーで見えなくなる

低エネルギー有効理論は

$$S_{eff} = -\frac{v^2}{2} \int d\varphi \wedge * d\varphi + \dots$$

保存則は2つ

$d * d\varphi = 0 \dots$ もともとあった $U(1)$ 0form 対称性
 $d d\varphi = 0 \dots$ 創発した $U(1)$ 2form 対称性

高次対称性が創発する例2 超伝導 (=超流動+電磁場)

$$S = -\frac{1}{2e^2} \int f \wedge *f - \int (d_a \phi^\dagger \wedge d_a \phi + *m^2 |\phi|^2 + *g^2 |\phi|^4)$$

$d_a \phi = (d - iq a) \phi$ 共変微分

対称性は？

ゲージ変換での対称性

$$a \rightarrow a + d\lambda, \phi \rightarrow e^{iq\lambda} \phi$$

磁氣的U(1) 1次対称性

$$U_{e^{i\eta}}^M(S) = \exp \left[i\eta \frac{1}{2\pi} \int_S f \right]$$

電氣的な対称性は？

$$U_{e^{i\theta}}^E(S) = \exp \left[i\theta \frac{1}{e^2} \int_S *f \right]$$

$S \rightarrow S + \partial V$ では

$$U_{e^{i\theta}}^E(S) \rightarrow \exp \left[i\theta \frac{1}{e^2} \int_{S+\partial V} *f \right] = e^{i\theta \frac{1}{g^2} \int_V d*f} U_{e^{i\theta}}^E(S) = e^{iq\theta \int_V j} U_{e^{i\theta}}^E(S)$$

$\int j \in \mathbb{Z}$ なので $\theta = \frac{2\pi n}{q}$ ($n = 0, 1, \dots, q-1$)だと

$U_{e^{i\theta}}^E(S)$ はトポロジカルになっている。

→ \mathbb{Z}_q -1次対称性

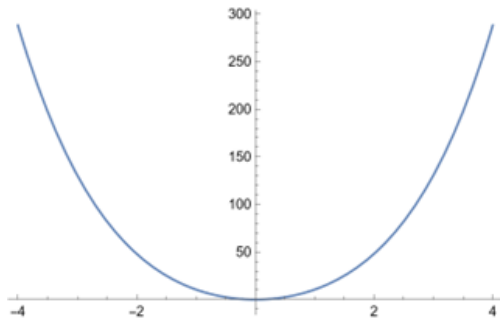
$$S = -\frac{1}{2e^2} \int f \wedge * f - \int (d_a \phi^\dagger \wedge d_a \phi + * m^2 |\phi|^2 + * g^2 |\phi|^4)$$

$m^2 > 0$ の場合

低エネルギー有効理論は

$$S_{eff} = -\frac{1}{2e^2} \int f \wedge * f$$

物質場がいなくなって
U(1) 1次対称性として創発している。



$m^2 < 0$ の場合 (複素場は凝縮している)

低エネルギー有効理論は

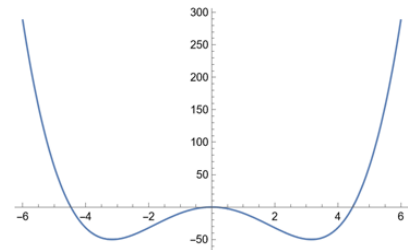
$$S_{eff} = -\frac{1}{2e^2} \int f \wedge * f - \frac{v^2}{2} \int (d\varphi - qa) \wedge * (d\varphi - qa)$$

\mathbb{Z}_q (d-1)次対称性が創発している。

$$U_{e^{i2\pi/q}}(C) = e^{i\frac{1}{q} \int_C d\varphi}$$

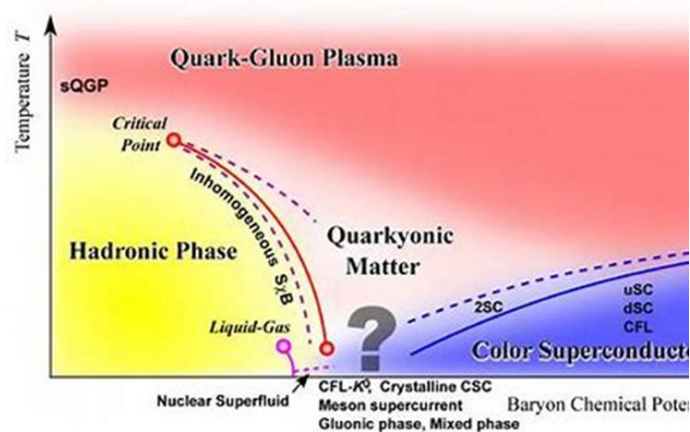
- $d\varphi$ とかけているのでトポロジカル。
- ゲージ変換 ($\varphi \rightarrow \varphi + q\lambda$) で不変

$$\therefore \frac{1}{q} \int d\varphi \rightarrow \frac{1}{q} \int d\varphi + \int d\lambda = \frac{1}{q} \int d\varphi + 2\pi n$$

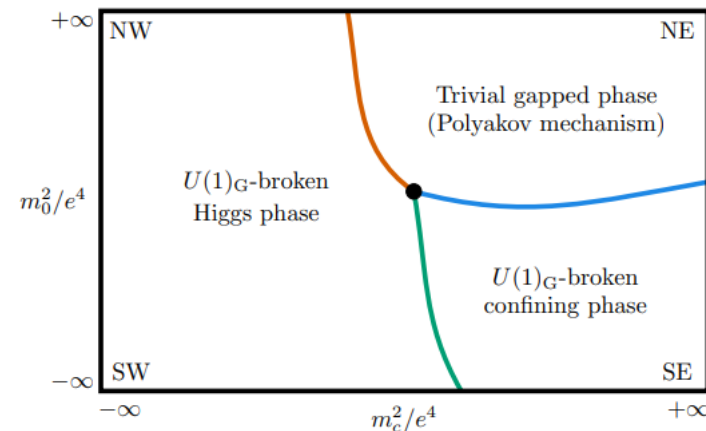


ポイント：低エネルギー有効理論で高次対称性が創発することがある。

$U(1)_{gauge} \times U(1)_{global}$ の対称性を持った模型
 高密度QCDのおもちゃの模型になっている。(状況が似ている)



K. Fukushima and T. Hatsuda,
 Rept. Prog. Phys. 74, 014001 (2011)



Cherman et. al
 Phys. Rev. D 102 (2020) 10, 105021

先行研究…超流動+超伝導の模型

(Cherman et.al Phys.Rev.D 102 (2020) 10, 105021)

作用・・・2+1次元の設定

$$S = -\frac{1}{2e^2} \int f \wedge * f - \int (d\phi_0^\dagger \wedge * d\phi_0 + * m_0^2 |\phi_0|^2 + * \lambda_0 |\phi_0|^4) - \epsilon \int * (\phi_+ \phi_- \phi_0 + h.c) \\ - \int (d_a \phi_+^\dagger \wedge d_a \phi_+ + d_a \phi_-^\dagger \wedge d_a \phi_- + m_c^2 (|\phi_+|^2 + |\phi_-|^2) + \lambda_c (|\phi_+|^4 + |\phi_-|^4))$$

バリオンに相当

	ϕ_0	ϕ_+	ϕ_-
U(1)電荷 (gauge)	0	1	-1
U(1)電荷(global)	2	-1	-1

クォークに相当

対称性は

U(1) (gauge) $a \rightarrow a + d\lambda, \phi_\pm \rightarrow e^{\pm i\lambda} \phi_\pm$

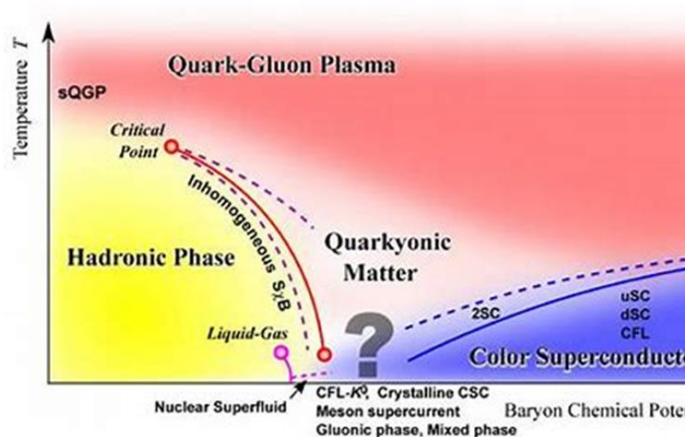
U(1) (global) $\phi_0 \rightarrow e^{i2\psi} \phi_0, \phi_\pm \rightarrow e^{-i\psi} \phi_\pm$

作用

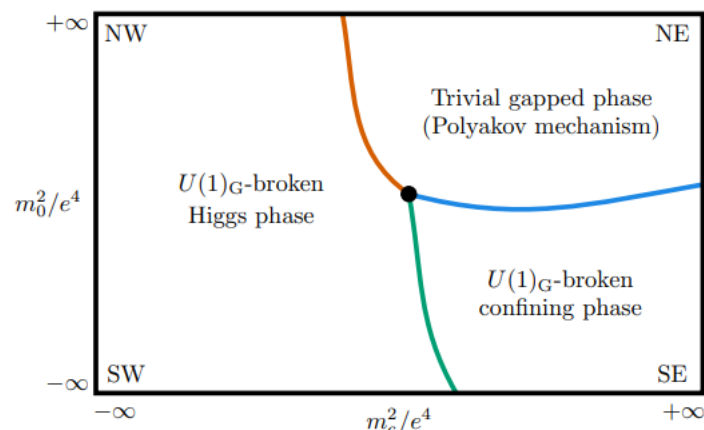
$$S = -\frac{1}{2e^2} \int f \wedge * f - \int (d\phi_0^\dagger \wedge * d\phi_0 + * m_0^2 |\phi_0|^2 + * \lambda_0 |\phi_0|^4) - \epsilon \int * (\phi_+ \phi_- \phi_0 + h.c)$$

$$- \int (d_a \phi_+^\dagger \wedge d_a \phi_+ + d_a \phi_-^\dagger \wedge d_a \phi_- + m_c^2 (|\phi_+|^2 + |\phi_-|^2) + \lambda_c (|\phi_+|^4 + |\phi_-|^4))$$

作用自体は超伝導と超流動の組み合わせ。



K. Fukushima and T.Hatsuda,
Rept.Prog.Phys.74,014001(2011)



Cherman et.all
Phys.Rev.D 102 (2020) 10, 105021

低エネルギー有効理論で $-m_0^2 \gg e^4$ のところをみる。

→ m_c^2/e^4 によって2つの可能性がある。大域的対称性の破れ方はどちらの可能性も同じ。

予想として、渦の解を仮定する。

$$\phi_{\pm} = v_c f_{\pm}(r) e^{i v_{\pm} \theta}, \phi_0 = v_0 f_0(r) e^{i k \theta}, a_{\theta}(r) = \frac{\Phi h(r)}{2\pi r}$$

(巻き付き数 1 の最低限の状況で) ホロ / ミーを考える

$$\Omega \equiv e^{i \oint_C a} \quad O_{\Omega} \equiv \lim_{r \rightarrow \infty} \frac{\langle \Omega(C) \rangle_1}{\langle \Omega(C) \rangle}$$

エネルギーを最小化すると

ヒッグス相

$$O_{\Omega} = -1$$

※よりQCDに近い模型だと $\exp\left[\frac{2}{3}i\pi\right]$

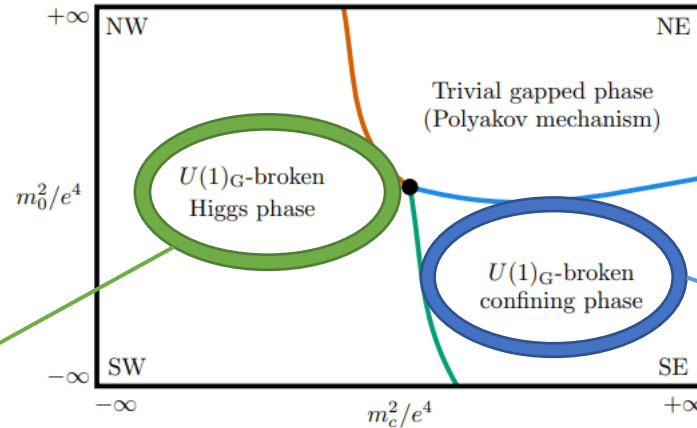
閉じ込め相

$$O_{\Omega} = 1$$

※よりQCDに近い模型でも 1

どこかで飛ぶから相転移があるだろう

本研究



$-m_c^2 \gg e^4$ の場合(ヒッグス相)
 低エネルギー有効理論で、 ϕ_{\pm} は凝縮する。
 電氣的に中性な超流動の渦と
 磁束が貫いている渦がいる。

有効作用

$$S_{eff} = -\frac{1}{2e^2} \int f \wedge * f - \frac{v_c^2}{2} \int (d_a \pi_+^\dagger \wedge * d_a \pi_+ + d_a \pi_-^\dagger \wedge * d_a \pi_-)$$

$m_c^2 \gg e^4$ の場合(閉じ込め相)
 低エネルギー有効理論で、 ϕ_{\pm} はいなくなる。
 電氣的に中性な超流動の渦がいる。

有効作用

$$S_{eff} = -\frac{1}{2e^2} \int f \wedge * f - \frac{v_0^2}{2} \int d\pi_0 \wedge * d\pi_0$$

$-m_c^2 \gg e^4$ の場合(ヒッグス相)

有効作用

$$S_{eff} = -\frac{1}{2e^2} \int f \wedge * f - \int (d_a \pi_+^\dagger \wedge * d_a \pi_+ + d_a \pi_-^\dagger \wedge * d_a \pi_-)$$

2種類のトポロジカルな演算子が考えられる。

1. $\exp \left[i\theta_+ \int \frac{d\pi_+ + d\pi_-}{2\pi} \right]$ ゲージ変換で不変な演算子

2. $\exp \left[i\theta_- \int \frac{d\pi_+ - d\pi_-}{2\pi} \right]$ $\theta_- \in \mathbb{Z}$ であればゲージ変換で不変な演算子

特に θ_- が奇数で、 $\int d\pi_+ - d\pi_- = 2(2k+1)\pi, k \in \mathbb{Z}$ だと -1 の値をとる。
(ペアで相殺できない磁束が刺さっている状況)

低エネルギー有効理論で創発した高次対称性がヒッグス相を特徴づけている。

Maurer-Cartan formを使って高次対称性を構成する

$$G = \frac{U(1)_{gauge} \times U(1)_{global}}{\mathbb{Z}_2} \rightarrow H = 1 \quad \therefore G/H = \frac{U(1)_{gauge} \times U(1)_{global}}{\mathbb{Z}_2}$$

$(\xi_c, \xi_Q) = (e^{i\pi_c}, e^{i\pi_Q}) \in U(1)_{gauge} \times U(1)_Q$ をとってくる。

これらは、 $(\alpha, \beta, \gamma) \in U(1)_{gauge} \times U(1)_{global} \times \mathbb{Z}_2$ として

$(\xi_c, \xi_Q) \rightarrow (\alpha\xi_c, \gamma^{-1}\beta\xi_Q\gamma^{-1})$ と変換する。

この \mathbb{Z}_2 右変換で不変なものは、例えば $\xi_c\xi_c^\dagger, \xi_Q^2$

これらのMaurer-Cartan formは

$$i(\xi_c)d(\xi_c)^\dagger = d\pi_c$$

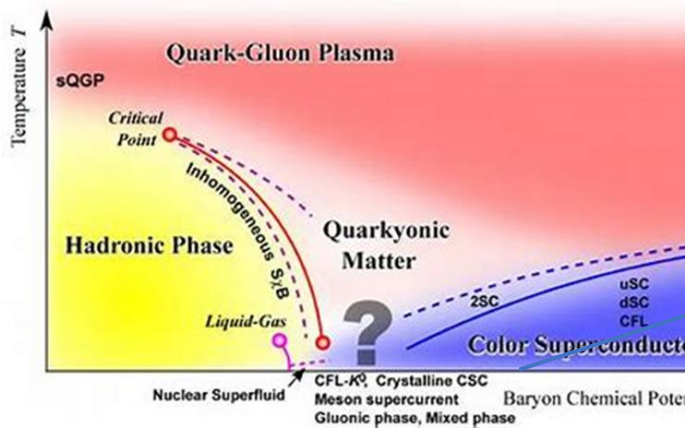
$$i(\xi_Q^2)d(\xi_Q^2)^\dagger = 2d\pi_Q$$

$\exp[i\phi d\pi_c]$ は
非自明な値 -1 を返すことがある

$\exp[i\theta\phi 2d\pi_Q]$ は
 $\exp[2i\pi\theta]$ 返す

ヒッグス相で創発している
トポロジカルでゲージ変換で不変な演算子

閉じ込め相とヒッグス相について



低エネルギー有効理論で創発した
高次対称性で特徴づけられるのでは？

K. Fukushima and T.Hatsuda,
Rept.Prog.Phys.74,014001(2011)

Color Flavor Locked 相(CFL相)ではdiquark $(qq)_{c,f}$ が特徴づける

$$G = \frac{SU(3)_c \times SU(3)_f \times U(1)_q}{\mathbb{Z}_{3,c+q} \times \mathbb{Z}_{3,f+q}} \rightarrow H = \frac{SU(3)_{c+f} \times \mathbb{Z}_{6,q}}{\mathbb{Z}_{3,c+q} \times \mathbb{Z}_{3,f+q}} \quad G/H \simeq \frac{SU(3)_{c-f} \times U(1)_q}{\mathbb{Z}_6} = \frac{SU(3)_{c-f} \times U(1)_d}{\mathbb{Z}_3}$$

$(\xi_c, \xi_d) \in SU(3) \times U(1)_d$ をとってくる。

$tr [P \exp \oint (\xi_c) d(\xi_c)^\dagger]$ はトポロジカルかつゲージ変換で不変な演算子

$$\xi_c d\xi_c^\dagger$$

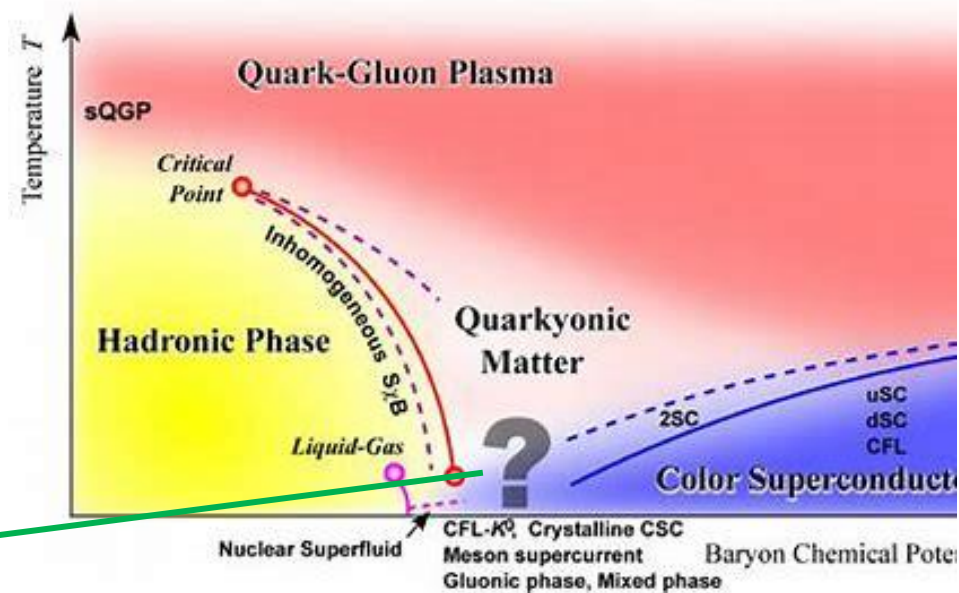


$$\exp \left[\frac{2}{3} i\pi \right] \text{を生成する}$$

Y.Hirono and Y.Tanizaki Phys.Rev.Lett 122 212001 (2019)

まとめ

閉じ込め相とヒッグス相の間は
どうなっているのか??
境界は区別できるのか?



K. Fukushima and T. Hatsuda,
Rept. Prog. Phys. 74, 014001 (2011)

閉じ込め相とヒッグス相は超流動になっている。(高次対称性が創発する)
ヒッグス相は超伝導にもなっている。(さらに高次対称性が創発する)
2つの相で創発する対称性が異なる。
創発した高次対称性が異なることは相転移を示唆する (要検証)